

# 丁类放大器

苏联B.K.拉布琴著

董克群译

人民邮电出版社

专业无师自通  
丛书

14.10.632

37

### ·內容提要·

这本小冊子講述一种具有很高效率的新型低頻放大器——丁类放大器的工作原理；介紹这种放大器的線路和主要計算公式。并且对实验装置及研究結果也作了闡述。

## 丁类放大器

\*

(苏联) B.K. 拉布琴著

董克群譯

人民郵電出版社出版

北京東四6條133號

(北京市書刊出版業營業許可證出字第〇四八號)

北京印刷厂印刷

新华书店发行

\*

开本787×1092 1/32 1958年3月北京第一版

印数1 购数16 1959年9月北京第三次印制

印制字数20,000字 印数0,961 8,000册

统一书号：15045·总740—無180

定价：(10) 0.15 元



## 序 言

輸出功率在 50 至 100 瓦以及更大的 低頻放大器，在各种不同的技术部門有广泛的应用。如有綫广播站的放大器、广播电台及通信用發信台的調制器、長途电信設備、扩音調度系統、有声电影、會議厅、剧院、舞場、花园和公园、广场、客运交通工具中的扩音設备……等，这些与大、中功率低頻放大器的所有主要应用場合还差得很远呢。

正因为低頻放大器有極其广泛的应用，所以其节约电力問題在国民經濟方面也就具有很大的意义。

目前低頻放大器的末級所采用的各种工作状态，效率是不很高的。在最經濟的工作状态（甲乙<sub>2</sub>类或乙类）下，其效率亦不超过 60%→70%。

效率不高的原因在于：輸出級电子管充其量只能在所放大信号周期的一半時間內像可变电阻一样地工作，而这时电子管的屏極电流和屏極陰極之間的电压接近于負荷电阻上有效信号的电流和电压。因此电子管消耗的功率亦接近放大器的輸出功率。

显著提高效率的新方法是末級电子管采用脈冲工作状态。这种方法的采用在放大技术發展中是一个“質”的改革。电子管在这种状态下工作就像一个开关一样：当屏極电流流动时，电子管上的电压降远較屏回路乙角压为低，因此电子管屏極消耗的功率亦較屏回路中脈冲功率小得多。

采用脈冲工作状态来放大低頻信号的理想，約在 5 年前由苏联学者 D. B. 阿盖耶夫教授提出。但是，由于当时仅能使脈冲

頻譜中一部分能量（即載有有效低頻信號的那部分能量）得到利用，而要防止能量的損失却十分困難。這個問題沒有得到適當的解決，因而阻礙了脈沖制音頻放大器的實際發展。

解決上述問題最成功的是法國專家羅熱·沙爾鮑年。他在末級線路中加上了一個電抗儲能器。沙爾鮑年把自己這種線路叫作丁(D)類放大器。

法國雜誌“工業電子學”(Electronique Industrielle)1955年第一期發表一篇題為“丁類放大器”(L'amplificateur classe D)的文章，這是關於丁類放大器唯一的原始報導。但是，這篇文章缺乏放大器工作的嚴密的理論。文中既沒有標明所發表線路的電氣數據，也沒有說明線路的計算方法。

由於這一問題急待解決，隨即着手進行丁類放大器的理論性和實驗性的研究。目的是要獲得這種線路工作原理更確切的概念，確定線路的基本特性，研究出放大器的計算方法，弄清實際採用了丁類放大器的困難。

這本小冊子就是根據上述研究所得的資料編寫而成的。

## 目 录

序言	
丁类放大器工作原理	(1)
丁类放大器线路	(7)
末级线路主要参量的选择和计算	(13)
丁类放大器实验	(18)
结束语	(24)
补充材料	(25)

## 丁类放大器工作原理

丁类输出放大器的方框图示于图1。需要放大的信号经过普通电压放大器1的前置放大以后，进入信号变换器2。信号在这里对两个相位相反的脉冲电压实行宽度调制。脉冲电压的周期是由辅助“换向”频率振荡器3确定的。换向频率选择得高于所放大信号的最高频率，以使经过宽度调制的脉冲电压能够十分完整地传递有效信号的波形。

经宽度调制的脉冲电压（以下简称换向电压）由信号变换器2进入末级4，使末级4控制由电源5进入负载电阻6的能量，并在负载电路中重新形成有效信号原来的波形。

这种线路在理论上主要的新部份就是末级4，现在我们就先来讲一讲它的工作原理。

丁类放大器的基本线路示于图2。这一级包括：两只只有控制栅的“开闭”管 $\text{J}_A$ 和 $\text{J}_B$ 、两只只“放电”二极管 $\text{A}_A$ 和 $\text{A}_B$ 、有旁路电容器 $C_A$ 和 $C_B$ 的三点负载电阻 $R_A R_B$ 以及电抗储能器（即两个紧交连的线圈 $L_A$ 和 $L_B$ 组成的脉冲变压器）。

线路左右相互对称，即 $\text{J}_A$ 和 $\text{J}_B$ 、 $\text{A}_A$ 和 $\text{A}_B$ 、 $L_A$ 和 $L_B$ 、 $R_A$ 和 $R_B$ 、 $C_A$ 和 $C_B$ 彼此相等。所以在公式中可以写成 $L=L_A=L_B$ ； $C=C_A=C_B$ ； $R=R_A=R_B$ 。

为了使换向频率成份不经过负载电阻，旁路电容器 $C_A$ 和

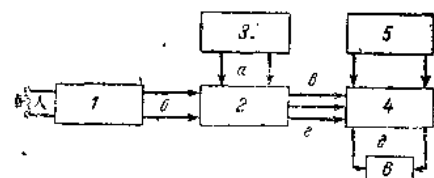


图1 丁类放大器方框图。

1. 前置放大器；2. 信号变换器；
3. 换向频率振荡器；4. 末级；
5. 电源；6. 负载。

$C_B$  的容量应选择得足够大。

这样，我们在研究换向频率一周期内的变化过程时，就可以认为 A、B 两点的电位是不变的。

静止状态（没有信号输入时的情况）。末级电子管的能量损失非常小，这是由于它能按着换向频率，使能量周期地积储在脉冲变压器的磁场中，而后再使能量返回电源的缘故。因为线路中能量损失很小，线路两臂的直流成分流过负载电阻两臂所产生的电压降自然也就很低，所以 A、B 两点的电位不仅保持不变，而且十分接近  $+E_a$  值。因此我们可以姑且认为 A、B 两点是不通过  $R_A$ 、 $R_B$ 、 $C_A$ 、 $C_B$  电路而直接与  $+E_a$  端相连接的。

在静止状态下，信号变换器产生对称的换向电压  $u_K$ （图 3,a），其正负脉冲延续时间相等，即  $t_A=t_B$ 。这时，可以把每个换向频率周期内丁类放大级的工作，分为以下 4 个阶段：

第一阶段( $0-t_1$ )。电子管  $J_A$  开启，产生屏流  $i_1$ （见图

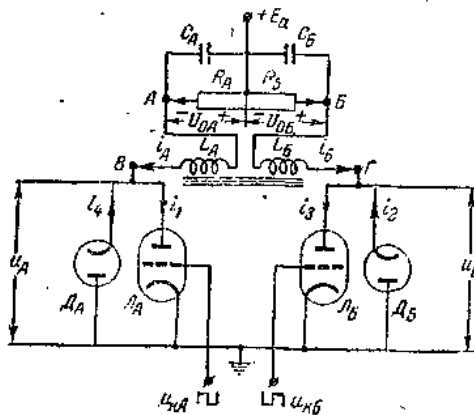


图 2 丁类放大级基本接线图。

2)。屏流  $i_1$  的电路包括线圈  $L_A$  及开关管  $J_A$  的内阻  $R_K$ ，这一电路的时间常数

$$\tau_K = \frac{L}{R_K}$$

选择得要比  $0-t_1$  这一阶段的延续时间大得多，以保证电流  $i_1$  接近直线性规律而增长，至  $t_1$  时  $i_1$  增至  $I_{mA}$  值（图 3, δ）， $J_A$  突然被换向电压  $u_{KA}$  的负电压所封闭。在这一阶段内，电子管  $J_A$  的屏压由 0 升到  $u_{am}$  值（图 3, δ），但其值始终只为加到线路上的乙电压  $E_a$  的一小部分，而大部分则被线圈  $L_A$  的自感反电势所抵消。与电流  $i_1$  流动的同时，脉冲变压器  $L_A L_B$  铁心中即有磁通量  $\Phi$  出现且增强（图 3, ε）。于是能量就储存于磁场中。

第二阶段 ( $t_1-t_2$ )。在  $t_1$  瞬间，电子管  $J_A$  闭塞，电流  $i_1$  突然截止，但磁通不能立即消失。这就是说，这股磁通此刻要在脉冲变压器的一个线圈中感应出另一电流。

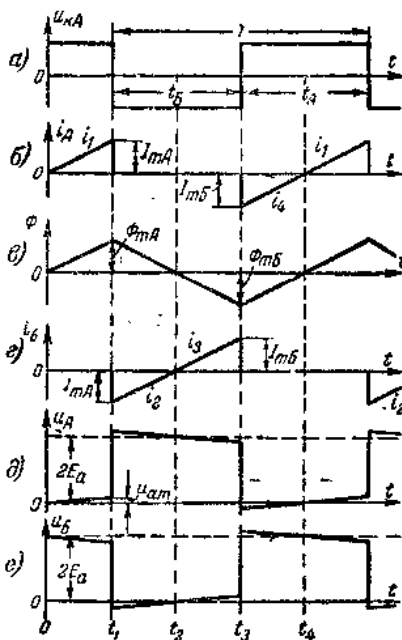


图 3 静止状态波形图。

$u_{KA}$ —加于电子管  $J_A$  极板的换向电压；加于电子管  $J_B$  极板的电压，其波形亦同，只是极性相反。

只要看一下这感应电流在  $L_A L_B$  线圈电路中可能的流动方向，就不难肯定：依照磁通不断变化的原则，能够取代电流  $i_1$  的只有经过二极管  $J_B$  的电流  $i_2$ 。若要电流流过二极管  $J_B$ ， $P$  点电位必须低于零。这是完全可以实现的，因为电流  $i_1$  一截止，线圈  $L_A$  中立即出现极性与乙电压  $E_a$  一致的自感电动势，因而使线圈  $L_B$  中的互感电动势与乙电压  $E_a$  方向相反，使  $P$  点变负。

结果，在  $t_1$  换向瞬间，电子管  $J_B$  虽然已为换向电压  $u_{KB}$  开启（电压  $u_{KB}$  同  $u_{KA}$  极性相反），但还不能出现屏流  $i_2$ ，这时二极管  $J_B$  电路中正有电流  $i_2$ ，且  $i_2$  的初值等于刚刚截止的电流  $i_1$  的末值，即  $i_2 = I_{mA}$ 。

电流  $i_2$  是逆着乙电压流动的。即是说，积储在脉冲变压器磁场中的能量此刻又返回电源中。随着能量的回输，磁通中以及电流  $i_2$  逐渐减弱（如图 3,6,i 所示）。因为二极管上电压降很小，线圈  $L_B$  中的感应电压接近  $E_a$  值并且在  $t_1-t_2$  这段时间内几乎不变，所以电流  $i_2$  差不多也是依直线律减弱的。第二阶段在  $t_2$  瞬间终结，脉冲变压器中的磁场消失，电流  $i_2$  回到零值。只有这时才可能在外电压  $E_a$  作用下出现流过线圈  $L_B$  的正向电流。

**第三阶段( $t_2-t_3$ )。**与第一阶段相似，这时开闭管  $J_B$  的屏流  $i_3$  出现并逐渐增到  $I_{mB}$  值。整个发展过程与第一阶段相同，只是线圈  $L_B$  和电子管  $J_B$  接替线圈  $L_A$  和电子管  $J_A$  而工作；同时脉冲变压器中的磁通方向亦相反（图 3,6）。

至  $t_3$  瞬间，电流又突然从线圈  $L_B$  转移到线圈  $L_A$  而流经二极管  $J_A$ 。这恰与第一阶段过渡到第二阶段的情况相似。

**第四阶段( $t_3-t_4$ )。**由于通过二极管  $J_A$  向电源放电，脉冲变压

器的磁场漸漸減弱，這一階段的工作過程與第二階段的工作相似。

隨着二極管  $J_A$  的電流  $i_4$  的停止， $B$  點電位即同時回到零，開閉管  $J_A$  的屏流  $i_1$  就可能開始流動。此後線路的工作就開始重複上述的循環過程。

應當指出，電感線圈中電流的增長斜度決定於加至線圈兩端的電壓與電感值之比。由於在我們的線路中，加於脈衝變壓器兩個線圈上的電壓等於  $E_a$ ，並且在所有 4 個階段內其值几乎不變，所以電流增長的斜度在各個階段內也可說是不變的。

但要指出，上述圖 3 中的已換向電流  $I_{mA}$  及  $I_{mB}$  以及磁通  $\Phi_{mA}$  和  $\Phi_{mB}$  在靜狀下各各相等，是假定電路及換向電壓絕對對稱的情況下才有可能。但是理論證明，要達到這樣穩定的狀態必須加有穩定電路。前面我們略去未曾研究的負荷電路  $R_A, R_B, C_A, C_B$  就是起穩定作用的。

如果沒有負荷電路，就會由於某種偶然原因，譬如已換向電流  $I_{mA}$  值略有增加，就會導致後面的電流  $I_{mB}$  減低， $I_{mB}$  反過來又會促使  $I_{mA}$  值更加增強。如此反復發展下去，電子管  $J_A$  屏流脈衝將不斷增強，終而使  $J_A$  燒毀。

已換向電流  $I_{mA}$  和  $I_{mB}$  值的各種不平衡現象，都表明線路兩臂的電流  $i_A$  和  $i_B$  含有直流成份  $I_{OA}$  和  $I_{OB}$ 。 $I_{OA}$  和  $I_{OB}$  經過負荷電阻的兩臂時將產生電壓降  $U_{OA}$  和  $U_{OB}$ ，而在上述  $I_{mA} > I_{mB}$  的情況下，這個電壓的極性恰如圖 2 中標明的“+、-”符號。從圖 2 可以看出，這時  $A$  點電位低， $B$  點電位高。這種情況可以使左臂的電流脈衝削弱，同時使右臂電流脈衝增強，從而防止線路的工作失去動態平衡。

**換向電壓不對稱時的穩定狀態**　當換向電壓在其周期內的

正负脉冲延续时间不相等时，就发生与负载电路起稳定作用相类似的过程，而使线路处于一种新的动态平衡状况。

图4示出这种过程的瞬变波形图，其中取  $t_A > t_B$ ，且设线路原来是处于静止状态的。

从图4的曲线可以看出，一方面由于  $t_A$  间隔的加大、 $t_B$  间隔的减小，故电子管  $J_A$  的已换向电流值 ( $I_{mA}, I'_{mA}, I''_{mA} \dots$ ) 逐渐增加，而电子管  $J_B$  的已换向电流值 ( $I_{mB}, I'_{mB}, I''_{mB} \dots$ ) 则逐渐减小；另一方面由于直流成份  $I_{OA}$  和  $I_{OB}$  的出现，使得线路 A、B 两点（图2）电位发生改变，故电流的增长斜度也就

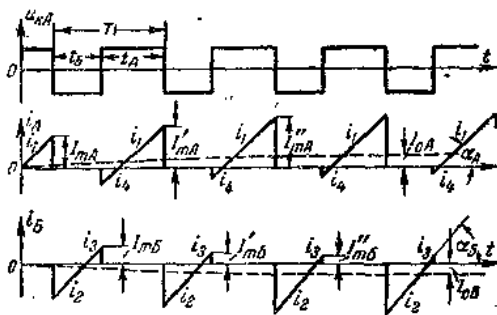


图4 在换向电压不对称 ( $t_A > t_B$ ) 时的瞬变过程波形图。

发生变化 ( $\alpha_A < \alpha_B$ )。在这两个相反过程的作用下，经过一定换频周期后，线路就进入新的稳定状态。这种状态不同于静止状态，因为负载电阻两臂  $R_A, R_B$  上这时有直流电压存在。

**低频信号的放大** 根据上面所讲，产生在负载电阻两端的直流电压，显然是依换向电压周期内  $t_A$  与  $t_B$  的比例决定的。

$t_A$  和  $t_B$  相差越大，输出电压也越高。如果换向电压脉冲的宽度是受有效低频信号所调制（图5, 6, 7），而同时换向频率选取得又足够高时，那么负载电阻上所产生的电压就会及时随着

輸入有效信号的变化而改变。

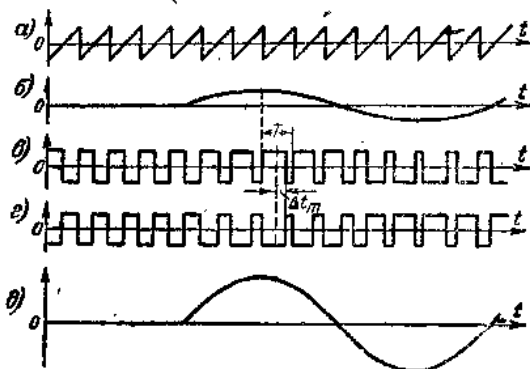


圖 5 丁类放大器方框圖（見圖 1）的主要各點電壓波形圖。

## 丁类放大器线路

**末級线路** 圖 2 所示的是最簡單的一种末級线路。但是这种线路的負荷电阻必須有中心抽头和适应末級电子管工作状态的一定阻值。由于这些要求，就限制了它的实际应用。

圖 6 所示通过变压器接入負荷电阻的一种线路，就沒有上述缺点。在这个线路中，只用一个电容器  $C$  即可以代替兩個旁路电容器  $C_A$  和  $C_B$ 。

这一线路的进一步改善是用 Π 形对称低頻濾波器（圖 7）代替旁路电容器  $C$ 。这样就可以把換向频率降低到仅为有效信号最高频率的 2—3 倍，而如圖 6 所示的线路，換向频率就須超过所放大信号最高频率的 5—9 倍。

換向频率能降低是我们所希望的。因为这样就可降低对另

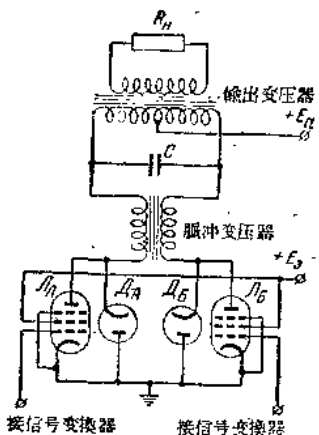


圖 6 用變壓器輸出的丁類放大級原理線路圖。

件質量及裝配技巧的要求，並減少能量的輻射損失和脈冲變壓器中的損耗。

### 信号变换器和換向頻率振盪器線路 信号变换器產生出兩個

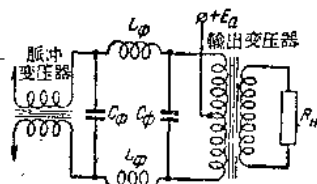


圖 7 經過低頻濾波器接入負荷電阻的線路。

相位相反的  $\Pi$  形脈冲電壓，並使脈冲受到有效信號的寬度調制。

在現代脈冲技術發展的基礎上，可以提出許多不同形式的線路來解決上述任務。這裡我們只介紹兩種，這兩種線路都由三個三極管組成（圖 8 和圖 9）。

在這兩種線路中都是以間歇振盪器 ( $J_1$ ) 作為換頻振盪器。在電容器  $C_1$  上可以取得如圖 5, a 所示的鋸齒形電壓。在圖 8 線路中，該電壓是加于三極管  $J_2$  電極上的。

三極管  $J_2$  和  $J_3$  組成一個雙穩定狀態的觸發線路。

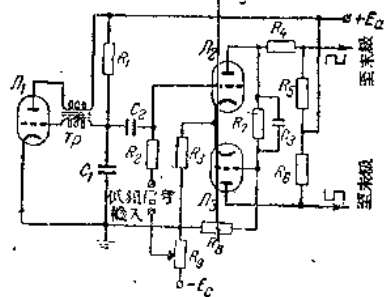


圖 8 用雙穩定狀態觸發線路的信号变换器原理圖。

在第一个状态下，三極管  $J_2$  开啓， $J_3$  封閉；在另一种状态下則相反，三極管  $J_2$  封閉， $J_3$  开啓。因此，在第一种状态下， $J_2$  屏路电阻  $R_4$ 、 $R_5$  上有一电压降，故其屏極电位低于乙电压  $E_a$ ，而电子管  $J_3$  屏極电位則等于  $E_a$ 。在第二种状态下， $J_2$  屏極电位等于  $E_a$ ，而  $J_3$  屏極电位則因电阻  $R_6$  上的电压降而低于  $E_a$  值。为使綫路从第一种 稳定状态轉入第二种稳定状态，可以充分降低三極管  $J_2$  控制栅極的电压，使之低于一定值。这时，由于兩管共用的陰極电阻  $R_3$  的正回授作用，触發电路即突然轉入第二种 稳定状态。为使綫路回复到第一种状态，应当把电子管  $J_2$  的栅極电压提高到超过一定值，由第二种状态轉入第一种状态的过程也是以突变方式进行的。

利用电位器  $R_9$ ，使三極管  $J_2$  栅極上具有一定的原始负电压，与由間歇振盪器輸入鋸齒形电压相加，就可以使綫路的工作达到对称；这时在鋸齒形电压一个周期內綫路处于第一种状态和第二种状态的时间長度是相同的。于是就能从兩管的屏極电阻  $R_5$  和  $R_6$  上取得兩個相位相反的、对称的脈冲电压（如圖 5, e 和 i 左部曲綫）。

如果在三極管  $J_2$  的栅極电路上，除鋸齒形电压以外，还加上欲放大的低频信号，那么当信号为正半周时，三極管  $J_2$  的开啓时间就会延長，而三極管  $J_3$  的开啓时间就要縮短；当信号負半周时则相反，即三極管  $J_2$  开啓時間縮短，三極管  $J_3$  开啓時間延長（如圖 5, e 和 i 右部曲綫所示）。

这就是說，从电子管  $J_2$  和  $J_3$  屏極可以取得我們所需要的那种經過寬度調制的脈冲电压。

圖 9 線路中采用的是單稳定状态触發电路（即所謂正栅極制动多諧振盪器）。在稳定状态下，三極管  $J_3$  开啓，三極管  $J_2$

則被  $J_3$  電極電流在電阻  $R_4$  上產生的電壓降所封閉。如果對三極管  $J_2$  屏極加一個負脈沖，那麼負脈沖傳輸到三極管  $J_3$  柵極上就把它封閉，於是三極管  $J_2$  就能隨之開啓。在多譜振盪器處於穩定狀態時，電容器  $C_2$  充電，電壓可接近  $E_a$  值。所以當電阻  $R_4$  上電壓降消失， $C_2$  就開始通過三極管  $J_2$  的內阻和電阻  $R_7$  而放電，因此電阻  $R_7$  下端（按圖9線路圖）在一段時間內保持負電位，而使三極管  $J_3$  处於被封閉狀態。隨著電容器  $C_2$  的放電，三極管  $J_3$  柵極負壓逐漸減小，最後即開始導電。三極管  $J_3$  的屏流經過電阻  $R_4$ ，增大三極管  $J_2$  的柵極負壓，且由於線路正回授很強，因此三極管  $J_3$  的開啓和三極管  $J_2$  的封閉過程是雪崩式的，所以線路就以跳躍方式突然回復到原來的穩定狀態。當下一個負脈沖加到電子管  $J_2$  屏極時，線路的工作即再次重複上述過程。

線路處於三極管  $J_2$  開啓、 $J_3$  封閉的不穩定狀態的延續時間，決定於  $R_7C_2$  电路的時間常數以及三極管  $J_2$  柵極上的原始固定電壓，該電壓可以用電位器  $R_8$  加以調節。這些數值若選擇得適當，就能夠使多譜振盪器產生的脈沖寬度恰等於激發脈冲周期的二分之一。這樣，來自換向頻率振盪器的激發脈冲加到  $J_2$  管屏極上，就能從三極管  $J_2$  和  $J_3$  屏極上得到兩個對稱

的脈沖電壓。

既然多譜振盪器的脈冲寬度決定於三極管  $J_2$  控制柵極的電壓，那就完全可以把有效信號電壓加到這個控制柵極上，用來進行脈冲的寬度調制。

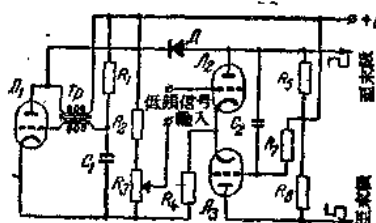


圖9 用單穩定狀態觸發線路的信號交換器  
線路圖。

在圖 9 線路中，間歇振盪器產生的激發脈沖要經過二極管  $A$ ，二極管  $A$  接在線路的兩部分之間，可以免除觸發電路對間歇振盪器的影響，從而保證這兩部分相互獨立地工作。

適於作信號變換器的各種線路，可以在 H. T. 彼得洛維奇和 I. B. 闊崔列夫合著的“電脈沖的發生與變換”（蘇聯“無線電”出版社，1954 年版）一書中找到較詳細的敘述。

**開閉管線路圖** 要在電壓降最小的條件下得到最大的電流脈沖，就要有內阻很小的電子管。三極管的內阻固然很小，但放大系數  $\mu$  也都不高。因此三極管用於丁類放大時，要想在脈衝屏壓很高的條件下可靠地把它封閉，就需要用很高的換向電壓（高至數百伏），以致使信號變換器的線路大大複雜起來。在丁類放大級中採用五極管或集射式四極管，特別是脈衝專用管（如 6П7С）比較合適，因為在這些電子管的屏極特性曲線起始上升部分（見圖 10），其內阻也是很小的（几百歐姆）。不過，在屏壓  $U_a$  低於帘柵壓  $U_g$  時，帘柵電流  $i_g$  非常大。因此當開閉管柵極已加有開啓電壓，但由於與該管並聯的二極管正在工作，開閉管屏極上正有不大的負壓而不能產生屏流，在這個階段內，將有很大的帘柵極電流。

如果不採取措施限制帘柵流，那麼放大器省電的經濟意義就降低了。同時，在避免開閉管帘柵極過荷而燒毀的條件下，放大器可能輸出的最大功率也就不會很大了。

圖 11 所示是一種防止帘柵過荷的線路，其中由數字標出的各點電壓圖解，見圖 12。

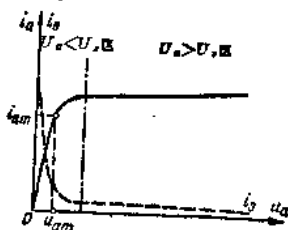


圖 10 五極管屏極特性曲線。

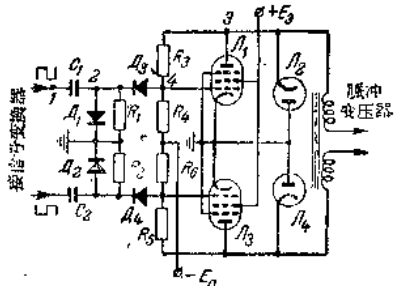


圖 11 防止开闭管帘栅極過荷的丁類放大器原理圖。

箝位二極管  $A_1$  的工作情况，如同電視接收机中的直流成份恢复器一样，利用这二極管可以使輸入的Π形換向电压的正半周在点 2 处下移至零电位（如圖 12, 6）。电阻  $R_1, R_3, R_4$  的阻值和負偏压  $E_c$  应当这样选择：要

使第一阶段內（圖 12, 0— $t_1$ ）当大的正电压作用于开闭管  $A_1$  屏極（点 3）时，二極管  $A_3$  导电并將線路点 2 处的負电位傳輸給控制栅極（点 4 处）；而在整个第二阶段( $t_1—t_2$ )内当点 3 电位为负时，二極管  $A_3$  闭塞，而切断控制栅極对輸入电路的联系，以使点 4 处的負电位超过开闭管的閉塞电压。至  $t_2$  瞬間，点 3 处电位通过零值而趋向正，电子管  $A_1$  开始导电，随着  $A_1$  屏压的增高，其栅極負压漸漸減小，当至  $t'$  时栅压达到零值，于是  $A_3$  开始导电，使栅極与輸入电路發生联系。从  $t'$  瞬間开始直到放电二極管  $A_2$  开始下一个工作循環以前（即  $t_4$  点以前）， $A_1$  栅極电压始終随着点 2 处的电压而变动。

線路另一臂相應各个元件的工作情况和上述的相同。

从圖 12, t 曲線上可以看出，开闭管不仅在线路另一臂工作时（ $0—t_1$  及  $t_3—t_4$  时间內），而且在本臂放电二極管工作时 ( $t_1—t_2$ ) 也是封閉的，就是在开闭管工作阶段 ( $t_2—t_3$ ) 也不是突然开啓，而是逐漸減小控制栅極負电压而开啓的。上述線路如經過合理的計算和精細的調整，可以在不显著降低放大器屏路效率的条件下，使开闭管帘栅流的損失減少到  $1/10$ 。